

## НАБЛЮДЕНИЕ ТЕРМОЭЛЕКТРИЧЕСКОГО ЭФФЕКТА В SNS-ПЕРЕХОДЕ

M.B.Карцовник, B.B.Рязанов, B.B.Шмидт

Наблюдалось появление конечного напряжения на джозефсоновском переходе Ta – Cu – Ta при пропускании через переход потока тепла, что связывается с проявлениями нестационарного эффекта Джозефсона, вызванного протеканием термотока. Возможность индуцирования, сравнимых с  $I_C$ , термотоков обусловлена низким значением  $V_C$  ( $\sim 10^{-13}$  В) переходов.

Среди возможных способов наблюдения термоэлектрических явлений в сверхпроводящих системах обратил на себя внимание метод Кларка и Фрика [1], которые наблюдали асимметрию критических значений сверхпроводящих транспортных токов разных направлений в джозефсоновых точечных контактах при наличии градиента температуры. Независимо, Аронов и Гальперин [2] теоретически показали возможность наблюдения аналога нестационарного эффекта Джозефсона, вызванного протеканием термотока. Шмидт [3] теоретически рассмотрел эффекты, возникающие в распределенном джозефсоновском SNS' (сверхпроводник – нормальный металл – сверхпроводник) – переходе, когда его электроды находятся при разных температурах.

Поведение джозефсоновского перехода в присутствии градиента температуры легко понять на основе его резистивной модели. Наличие разности температур  $T_1 > T_2$  на переходе приведет к появлению нормальной компоненты, термотоку  $I_T$ . Однако, накопления зарядов на электродах изолированного перехода не происходит, так как через "слабое звено" идет компенсирующий сверхпроводящий ток [1]

$$I_S = -I_T = -\alpha (T_1 - T_2) / R_N . \quad (1)$$

Здесь  $\alpha$  и  $R_N$  – соответственно, абсолютная дифференциальная термоэдс и сопротивление металла перехода в нормальном состоянии. При разности температур на переходе выше значения

$$(T_1 - T_2)_C = I_C R_N / \alpha = V_C / \alpha \quad (2)$$

термоток  $I_T$  превысит критическое значение  $I_C$  и на переходе должна возникнуть разность электрохимических потенциалов  $V$ , приводящая к джозефсоновой генерации с частотой  $\omega_0 \approx (2e/\hbar)\alpha (T_1 - T_2)$  для значений  $(T_1 - T_2) > V_C / \alpha$  [2].

В упомянутом эксперименте [1] не удалось достичь близких к  $I_C$  значений термотока  $I_T$ , вследствие слишком высокого значения  $V_C$  точечных контактов ( $\sim 10^{-5}$  В). Целью данной работы явилось наблюдение термоэлектрических эффектов на джозефсоновых SNS-сэндвичах, значения  $V_C$  которых составляют всего  $\sim 10^{-13}$  В, что позволило ожидать в новой системе значительно более высоких термотоков при относительно небольших градиентах температуры.

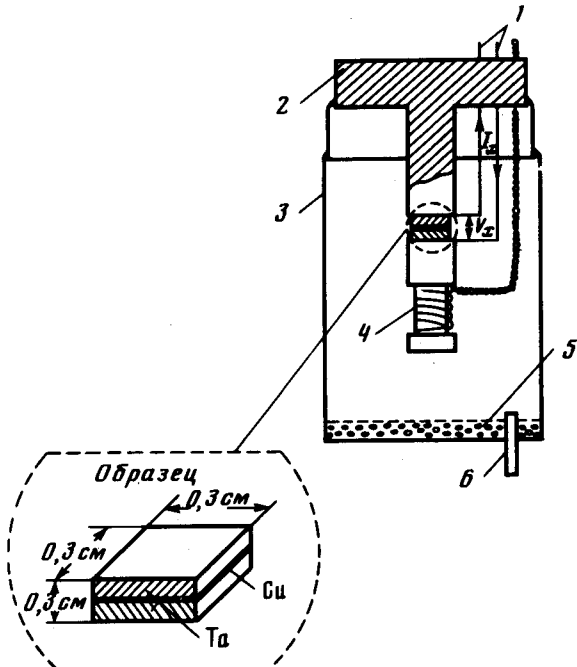


Рис.1. Вакуумируемый стакан с образцом

*SNS*-сэндвичи  $Ta - Cu - Ta$  приготавливались методом совместной горячей прокатки в вакууме. В дальнейшем полученные толстые пластины дополнительно раскатывались с тем, чтобы первоначально диффузионно сваренные *NS*-поверхности раздела растянулись в несколько раз; это обеспечило чистоту *NS*-границ. Отсутствие окислов на подавляющей части площадей *NS*-поверхностей перехода подтверждается результатами измерений избыточного сопротивления и джозефсонских свойств таких сэндвичей [4]. Толщина медной прослойки в разных образцах составляла 7 и 10 мкм. Образцы вырезались электроискровым способом и затем травились в смеси кислот для устранения образовавшихся при резке перемычек тантала, что контролировалось с помощью сканирующего электронного микроскопа.

На рис.1 показан вакуумируемый стакан (3), в который во время эксперимента помещался образец, надежно приклеенный kleem БФ-2 между двумя медными теплопроводами (2). Один из теплопроводов (2) имел контакт с гелиевой ванной, на другой — наматывался безиндукционный нагреватель (4). Сверхпроводящие выводы (1) крепились к образцу точечной сваркой и служили для задания тока  $I_X$  от внешнего источника и измерения напряжения  $U$  на переходе. Стакан откачивался при комнатной температуре через свинцовую трубку (6) и герметизировался. Внутри стакана помещался активированный уголь (5). Напряжение на образце ( $\sim 10^{-13} - 10^{-12}$  В) измерялось по компенсационной схеме, в качестве нуль-детектора в которой использовался ВЧ-сквид [5]. Ошибка не превышала  $\pm 5\%$ .

На рис.2 показаны две характерные зависимости напряжения для одного из образцов: от внешнего тока через образец  $I_X$  и от мощности нагревателя  $P$ , измеренные при температуре 4,2 К ( $T/T_C = 0,97$ ). Масштабы  $I_X$  и  $P$  приведены путем совмещения точек появления обнару-

живаемого напряжения ( $\sim 3 \cdot 10^{-14}$  В). Вольт-амперная характеристика  $V(I_X)$ ,  $(P = 0)$  хорошо соответствует зависимости [6]  $V = R_N \sqrt{I_X^2 - I_C^2}$  для  $R_N \approx 3 \cdot 10^{-9}$  Ом. Измеренная зависимость критического тока от температуры удовлетворительно соответствует зависимости [7]  $I_C \sim (1 - T/T_C)^2$  для SNS-перехода вблизи  $T_C$ . Все это свидетельствует о том, что образец, действительно, представляет собой SNS-переход с однородным распределением внешнего тока по площади перехода (джозефсоновская глубина проникновения  $\lambda_J \approx 0,16$  см), что позволяет сравнивать показанные на рис.2 зависимости [3]. Кривые  $V(P)$ ,  $(P \sim 10^{-4}$  Вт) и  $V(I_X)$  удовлетворительно совмещаются, причем знаки  $V$  противоположны при одном направлении токов  $I_X$  и  $I_T$  (для  $\alpha$  джозефсоновской прослойки получен положительный знак). Это полностью согласуется с рассмотрением в рамках резистивной модели, которая в "тепловом" случае дает зависимость  $V \approx R_N \sqrt{I_T^2 - I_C^2}$ .

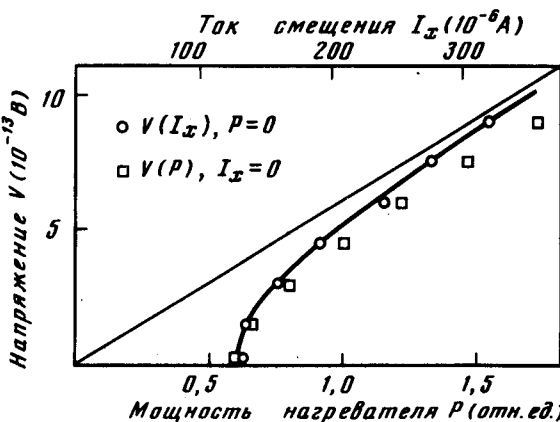


Рис.2. Зависимости напряжения на образце от внешнего тока и мощности нагревателя

На рис.3 показана, измеренная на том же образце "ассиметрия [1]" критических значений транспортного тока  $I_X^C$  при коммутации тока  $I_X$  для разных значений потока тепла одного направления. Верхняя ветвь в верхней половине графика соответствует параллельному течению сверхпроводящего термотока  $I_S = -I_T$  и тока внешнего источника  $I_X^C$ . Часть верхней ветви в отрицательной половине графика соответствует случаю  $|I_S| \geq I_C$ , но встречный ток  $I_X^C$  уменьшает это значение до критической величины. Нижняя ветвь соответствует случаю  $|I_X| \geq I_C$ , но  $I_S$  течет навстречу  $I_X$ , так что  $I_X - I_S = I_C$ . Такая интерпретация результатов, показанных на рис.3, справедлива, для  $\alpha > 0$  джозефсоновской прослойки.

Полагая  $\alpha \approx 10^{-8}$  В/К (типичное для чистой меди значение), для  $V_C \approx 4 \cdot 10^{-13}$  В можно получить следующую оценку для "критической" разности температур на джозефсоновской прослойке (2):  $(T_1 - T_2)_C \approx 4 \cdot 10^{-5}$  К. Однако, необходимо отметить, что в термоэлектрических процессах, происходящих в области джозефсоновского слабого звена, возможно принимает участие не только медная прослойка (верхняя оценка ее сопротивления дает  $\sim 5 \cdot 10^{-10}$  Ом), но и близлежащие неравновесные слои сверхпроводящего tantalа, вносящие вклад в избыточное сопротивление NS-границы [8].

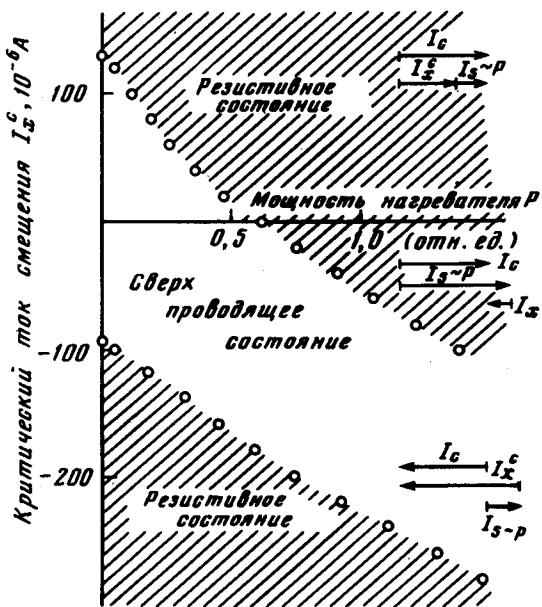


Рис.3. Влияние потока тепла через переход на величину критического транспортного тока

Авторы признательны Ю.М.Гальперину, В.Л.Гуревичу, В.И.Козубу, А.Л.Шеланкову за полезные дискуссии, а также Н.В.Заварицкому за сделанные замечания.

Институт физики твердого тела  
Академии наук СССР

Поступила в редакцию  
24 февраля 1981 г.

### Литература

- [1] J.Clarke, S.M.Freak. Phys. Rev. Lett., 29, 588, 1972.
- [2] А.Г.Аронов, Ю.М.Гальперин. Письма в ЖЭТФ, 19, 281, 1974.
- [3] В.В.Шмидт. Письма в ЖЭТФ, 33, 104, 1981.
- [4] В.В.Шмидт, В.В.Рязанов, Л.А.Ермолаева. Направлено в J. Low Temp Phys.,
- [5] Дж. Кларк. Сб,"Слабая сверхпроводимость", М.; изд. Мир, 1980, стр. 57.
- [6] Л.Г.Асламазов, А.И.Ларкин, Ю.Н.Овчинников. ЖЭТФ, 55, 323, 1958.
- [7] J.Clarke. Proc. Roy. Soc., A308, 447, 1969.
- [8] С.Н.Артеменко, А.Ф.Волков. ЖЭТФ, 70, 1051, 1976.